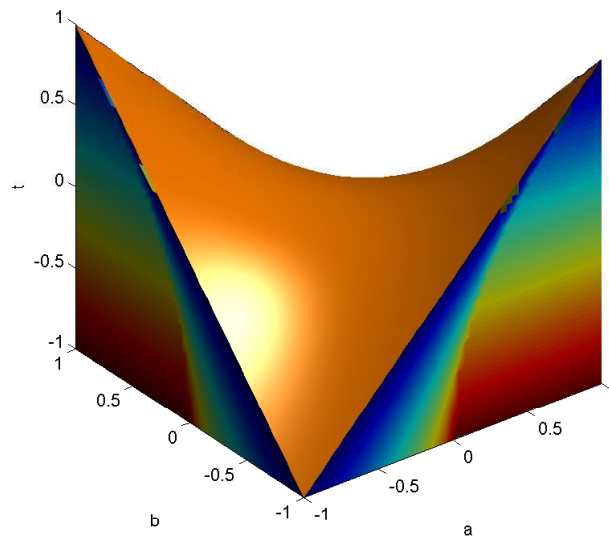


**Analyse et synthèse robustes
des systèmes linéaires
Cours 3
Stabilité interne des systèmes interconnectés**



Soit $G(s) \sim \left[\begin{array}{c|c} A & B \\ \hline C & D \end{array} \right]$, deux notions de stabilité peuvent être définies :

- **Stabilité interne :**

▼ **Définition 1 :**

Le modèle LTI est stable de façon interne ssi

- *A est stable asymptotiquement ($\lim_{t \rightarrow \infty} x(t) = 0$) ssi les valeurs propres de A sont telles que $Re(\lambda_i(A)) < 0$*

- **Stabilité externe ou entrées/sorties (I/O) :**

▼ **Définition 2 :**

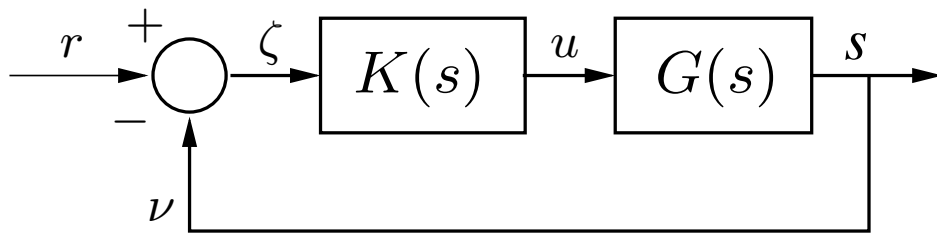
*G(s) est **stable I/O** ssi*

- *G(s) est **analytique** (tous ses éléments sont bornés) dans $\mathbb{C}^0 \cup \mathbb{C}^+$ ou $G(s) \in \mathcal{RH}_\infty$ ssi*

- *G(s) est **BIBO stable***

□ **Théorème 1** Si $G(s) \simeq \left[\begin{array}{c|c} A & B \\ \hline C & D \end{array} \right]$ alors la stabilité I/O est équivalente à la stabilité interne

- Le modèle LTI du système :



$$G(s) \sim \left[\begin{array}{c|c} A & B \\ \hline C & D \end{array} \right]$$

$$\Phi(s) = \det(s\mathbf{1} - A)$$

- Le gain de boucle :

$$G_{bo}(s) = L(s) = G(s)K(s) \sim \left[\begin{array}{c|c} A_{bo} & B_{bo} \\ \hline C_{bo} & D_{bo} \end{array} \right]$$

$$\Phi_{bo}(s) = \det(s\mathbf{1} - A_{bo})$$

- La boucle fermée :

$$G_{bf}(s) \sim \left[\begin{array}{c|c} A_{bf} & B_{bf} \\ \hline C_{bf} & D_{bf} \end{array} \right]$$

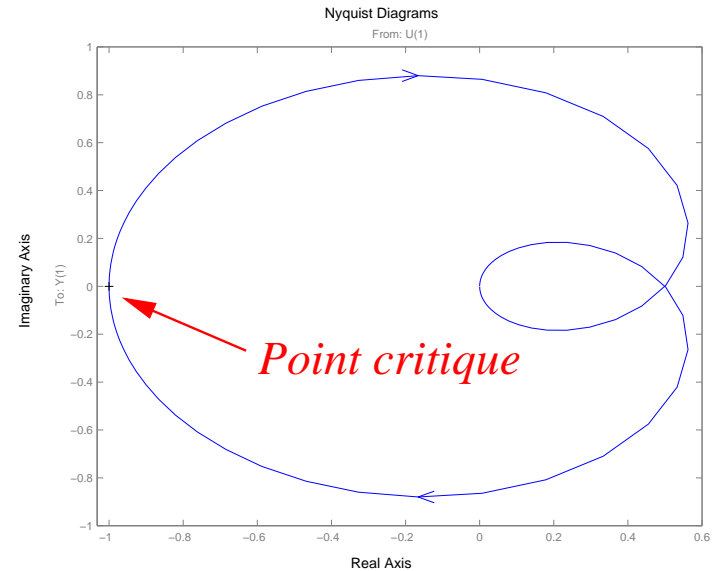
$$\Phi_{bf}(s) = \det(s\mathbf{1} - A_{bo} + B_{bo}(\mathbf{1} + D_{bo})^{-1}C_{bo})$$

Nota :

$$\det(\mathbf{1} + L(s)) = \frac{\Phi_{bf}(s)}{\Phi_{bo}(s)} \det(\mathbf{1} + D_{bo})$$

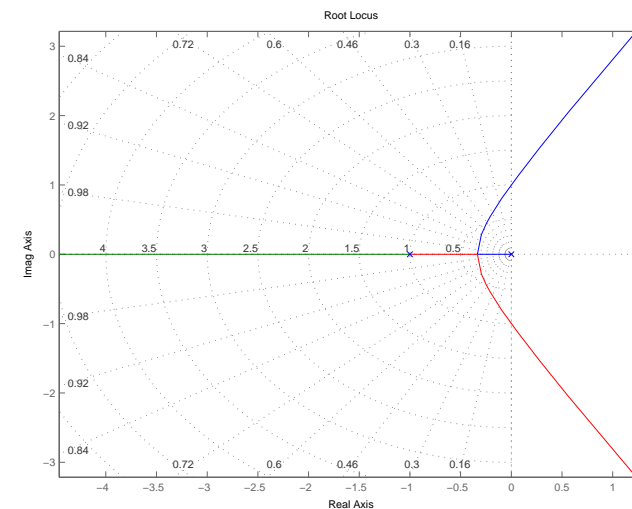
- Critère de Routh-Hurwitz sur le polynôme caractéristique en BF $\Phi_{bf}(s)$

- Condition nécessaire et suffisante fréquentielle de Nyquist



- Condition suffisante du faible gain : $\|L\|_{\infty} = \max_{\omega} |L(j\omega)| < 1 \quad \forall \omega$

- Lieu des racines



□ Théorème 2 : *critère de Nyquist multivariable*

Soit P_{bo} le nombre de pôles instables en B.O. dans $L(s)$. L'asservissement à retour unitaire est stable de manière externe en boucle fermée ssi

le lieu de Nyquist de $\det(\mathbf{1} + L(s))$:

- *fait P_{bo} tours dans le sens trigonométrique autour de l'origine*
- *ne passe pas par l'origine*

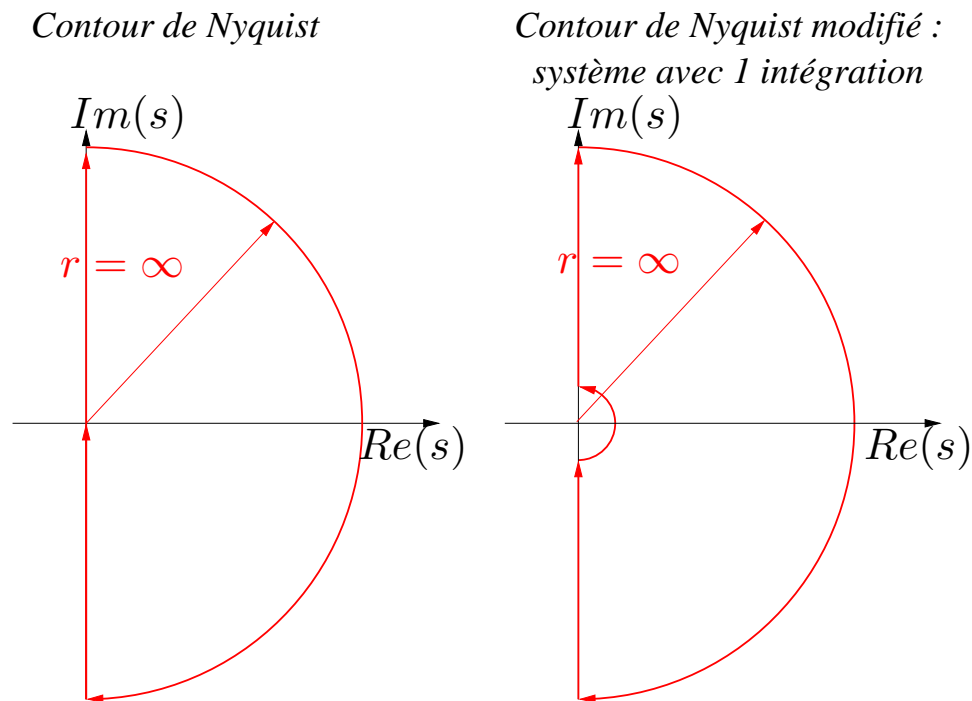
Si le système est instable alors le nombre de pôles instables en boucle fermée est

$$P_{bf} = \overset{\circlearrowleft}{N} + P_{bo}$$

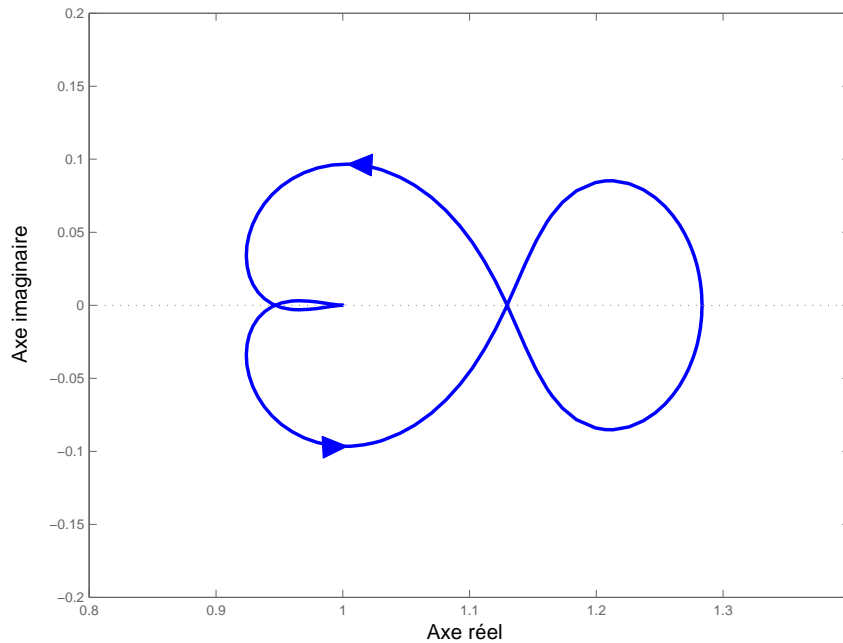
où $\overset{\circlearrowleft}{N}$ est le nombre de tours dans le sens antitrigonométrique autour de 0 du lieu de Nyquist de $\det(\mathbf{1} + L(s))$

Nota :

Le lieu de Nyquist de $\det(\mathbf{1} + L(s))$ correspond à l'image de $\det(\mathbf{1} + L(s))$ quand s parcourt **le contour de Nyquist** dans le sens antitrigonométrique



Exemple : soit $L(s) = \begin{bmatrix} \frac{1}{(s+2)(s+3)} & \frac{s}{(s-1)(s+2)} \\ 0 & \frac{1}{s^2-2s+10} \end{bmatrix}$



$$\begin{aligned} \det(\mathbf{1} + L(s)) &= \frac{(s^2 + 5s + 7)(s^2 - 2s + 11)}{(s + 2)(s + 3)(s^2 - 2s + 10)} \\ &= \frac{\Phi_{bf}(s)}{\Phi_{bo}(s)} \end{aligned}$$

$s = 1 \pm 3j$ instables $P_{bo} = 2$

$\overset{\circ}{N} = 0$ $P_{bf} = 2$

Le système bouclé par retour unitaire est instable

▼ Définition 3 : *rayon spectral*

Le *rayon spectral* de $L(j\omega) \in \mathbb{C}^{m \times m}$ est défini à chaque pulsation par

$$\rho(L(j\omega)) = \max_i |\lambda_i(L(j\omega))|$$

□ Théorème 3 : *condition suffisante de stabilité*

Etant donné un asservissement à retour unitaire stable I/O en boucle ouverte ($L(s)$ est stable I/O) alors le système en boucle fermée est stable I/O si :

$$\rho(L(j\omega)) < 1 \quad \forall \omega$$

Nota :

- Condition suffisante puisque pas d'information sur la phase. Pour les systèmes SISO

$$\rho(L(j\omega)) = |L(j\omega)|$$

$$L(s) = \frac{1}{s + \epsilon}$$

- Preuve par le critère de Nyquist MIMO + contraposée

□ Théorème 4 : *théorème du faible gain*

Etant donné un asservissement à retour unitaire stable I/O en boucle ouverte ($L(s)$ est stable I/O) alors le système en boucle fermée est stable I/O si :

$$\|L\|_{\infty} = \max_{\omega} \bar{\sigma}(L(j\omega)) < 1 \quad \forall \omega$$

où $\bar{\sigma}$ est la valeur singulière maximale de $L(j\omega)$ calculée à la pulsation ω

Nota : $\rho(A) \leq \|A\|$ pour toute norme matricielle $\|\cdot\|$

Exemple :

```
>> A=[-1 0 -2;0 -1 1;0 0 -4];B=[0 0;1 0;0 1];C=[1 0 1;0 0 1];
```

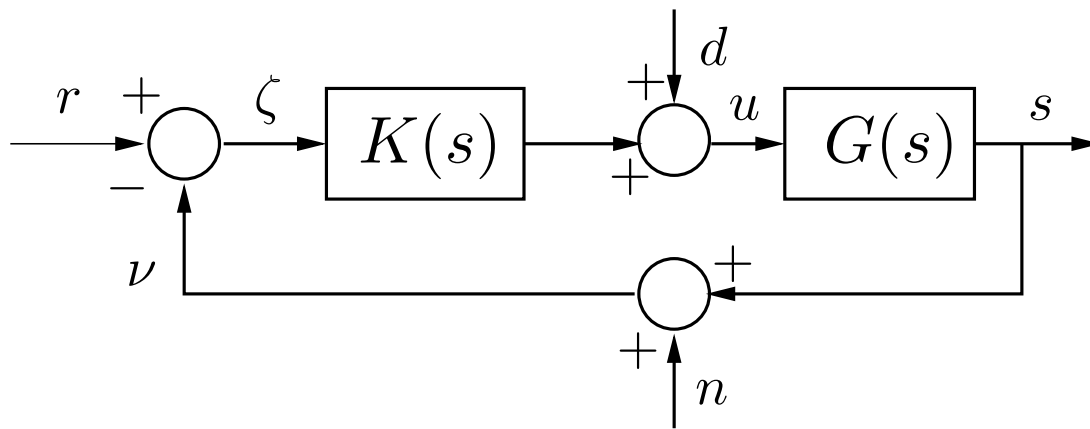
```
>> D=[0 0;0 0];sys=ss(A,B,C,D);hinf=norm(sys,inf)
```

```
hinf =
```

```
0.3536    0.3536    0
```

Le système bouclé par retour unitaire est stable

Nota : le test de stabilité externe suppose qu'il n'y a pas de simplifications pôles/zéros instables entre $K(s)$ et $G(s)$



$$K(s) = \frac{k(s+3)}{s(s-2)}$$

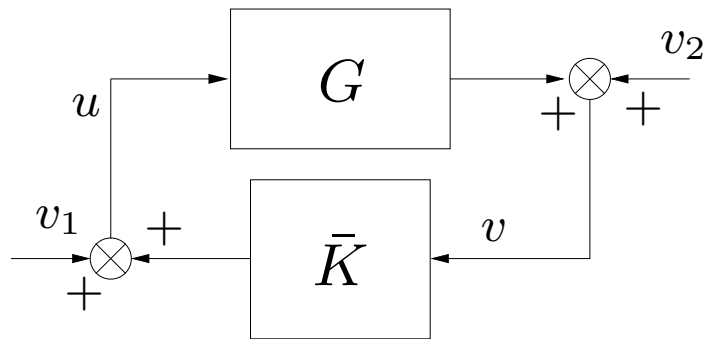
$$G(s) = \frac{(s-2)}{(s+3)}$$

$$L(s) = \frac{k}{s} \qquad S(s) = \frac{s}{s+k} \qquad T(s) = \frac{k}{s+k}$$

$$KS(s) = \frac{k(s+3)}{(s-2)(k+s)} \qquad GS(s) = \frac{s(s-2)}{(s+3)(s+k)}$$

Les transferts de r et n vers u sont instables

→ 2 est un mode instable inobservable de la réalisation de $L(s)$ et de $S(s)$



Les réalisations stabilisables et détectables

$$v_1 = v_2 = 0 :$$

$$\dot{x} = Ax + Bu$$

$$\dot{x}_{\bar{K}} = A_{\bar{K}}x_{\bar{K}} + B_{\bar{K}}v$$

$$v = Cx + Du$$

$$u = C_{\bar{K}}x_{\bar{K}} + D_{\bar{K}}v$$

L'interconnexion est caractérisée par :

$$\begin{bmatrix} v_1 \\ v_2 \end{bmatrix} = \begin{bmatrix} \mathbf{1} & -\bar{K} \\ -G & \mathbf{1} \end{bmatrix} \begin{bmatrix} u \\ v \end{bmatrix}$$

▼ Définition 4 : *bien posé*

L'interconnexion est bien posée ssi *toutes les fonctions de transfert bouclées existent et sont propres.*

□ Lemme 1 :

L'interconnexion est bien posée ssi $\begin{bmatrix} \mathbf{1} & -\bar{K}(\infty) \\ -G(\infty) & \mathbf{1} \end{bmatrix}^{-1} = \begin{bmatrix} \mathbf{1} & -D_{\bar{K}} \\ -D & \mathbf{1} \end{bmatrix}^{-1}$ existe

▼ **Définition 5** : *stabilité interne*

L'interconnexion est stable de manière *interne* si l'origine $(x, x_K) = (0, 0)$ est asymptotiquement stable

□ **Théorème 5** : *test espace d'état*

L'interconnexion est *internement stable* ssi $\begin{bmatrix} \mathbf{1} & -D_{\bar{K}} \\ -D & \mathbf{1} \end{bmatrix}^{-1}$ existe et

$$\begin{bmatrix} A & \mathbf{0} \\ \mathbf{0} & A_{\bar{K}} \end{bmatrix} + \begin{bmatrix} B & \mathbf{0} \\ \mathbf{0} & B_{\bar{K}} \end{bmatrix} \begin{bmatrix} \mathbf{1} & -D_{\bar{K}} \\ -D & \mathbf{1} \end{bmatrix}^{-1} \begin{bmatrix} \mathbf{0} & C_{\bar{K}} \\ C & \mathbf{0} \end{bmatrix} \text{ est stable}$$

Nota

$$\begin{bmatrix} \dot{x} \\ \dot{x}_{\bar{K}} \end{bmatrix} = \begin{bmatrix} A & \mathbf{0} \\ \mathbf{0} & A_{\bar{K}} \end{bmatrix} \begin{bmatrix} x \\ x_{\bar{K}} \end{bmatrix} + \begin{bmatrix} B & \mathbf{0} \\ \mathbf{0} & B_{\bar{K}} \end{bmatrix} \begin{bmatrix} u \\ v \end{bmatrix}$$

$$\begin{bmatrix} u_{\bar{K}} \\ y \end{bmatrix} = \begin{bmatrix} \mathbf{0} & C_{\bar{K}} \\ C & \mathbf{0} \end{bmatrix} \begin{bmatrix} x \\ x_{\bar{K}} \end{bmatrix} + \begin{bmatrix} \mathbf{0} & D_{\bar{K}} \\ D & \mathbf{0} \end{bmatrix} \begin{bmatrix} u \\ v \end{bmatrix}$$

L'interconnexion en boucle fermée est caractérisée par :

$$\begin{bmatrix} u \\ v \end{bmatrix} = G_{bf}(s) \begin{bmatrix} v_1 \\ v_2 \end{bmatrix}$$
$$G_{bf}(s) = \begin{bmatrix} (\mathbf{1} - \bar{K}G)^{-1} & \bar{K}(\mathbf{1} - G\bar{K})^{-1} \\ (\mathbf{1} - G\bar{K})^{-1}G & (\mathbf{1} - G\bar{K})^{-1} \end{bmatrix}$$

□ **Lemme 2** :

L'interconnexion est stable de manière interne ssi elle est bien posée et la matrice de transfert $G_{bf}(s) \in \mathcal{RH}_\infty$

Nota : pour tous les signaux d'entrée bornés (v_1, v_2) , les signaux de sortie (u, v) sont bornés

□ **Lemme 3 :**

Si $\bar{K} \in \mathcal{RH}_\infty$ alors l'interconnexion est stable de manière interne ssi elle est bien posée et

$$G(\mathbf{1} - \bar{K}G)^{-1} \in \mathcal{RH}_\infty$$

□ **Lemme 4 :**

Si $G \in \mathcal{RH}_\infty$ alors l'interconnexion est stable de manière interne ssi elle est bien posée et

$$G\bar{K}(\mathbf{1} - G\bar{K})^{-1} \in \mathcal{RH}_\infty$$

□ **Lemme 5 :**

Si $\bar{K} \in \mathcal{RH}_\infty$ et $G \in \mathcal{RH}_\infty$ alors l'interconnexion est stable de manière interne ssi elle est bien posée et

$$(\mathbf{1} - \bar{K}G)^{-1} \in \mathcal{RH}_\infty$$

ou

$$\text{spectre}(\det(\mathbf{1} - \bar{K}G)^{-1}) \subset \mathbb{C}^-$$

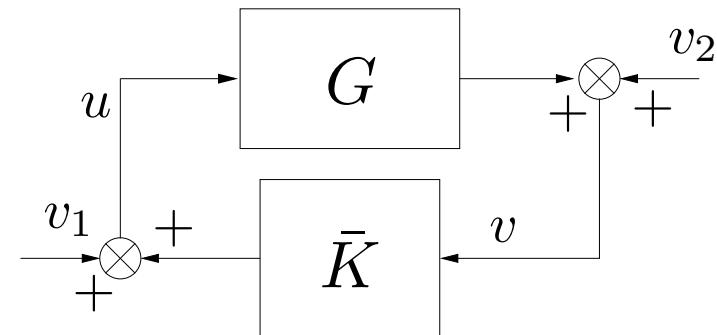
□ Théorème 6 :

S'il n'y a pas de simplifications pôles/zéros instables entre G et \bar{K} (i.e. tous les pôles instables dans G et \bar{K} sont contenus dans les réalisations minimales de $G\bar{K}$ et $\bar{K}G$) alors l'interconnexion est stable de manière interne ssi une des quatre fonctions de transfert (S) est stable

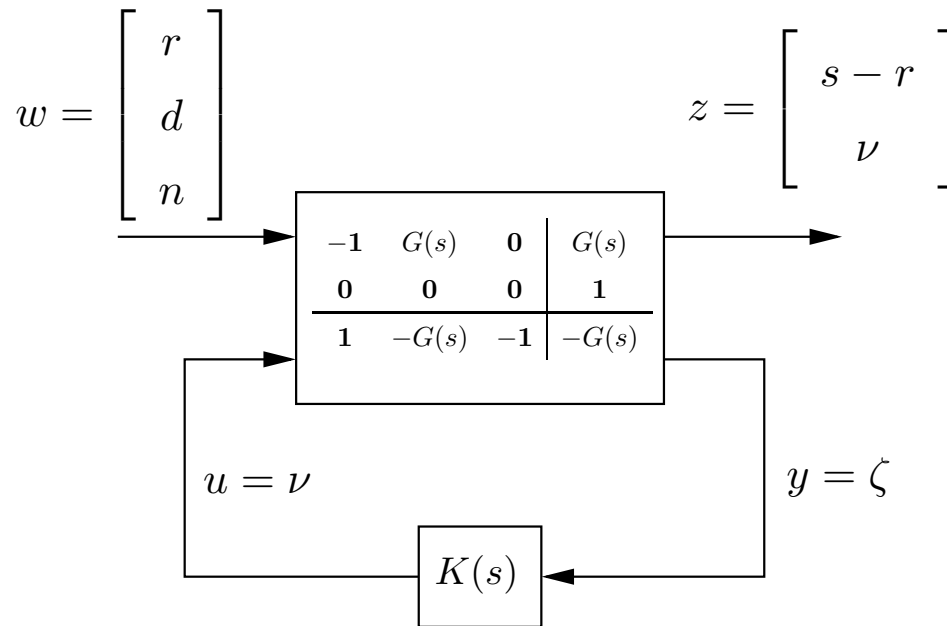
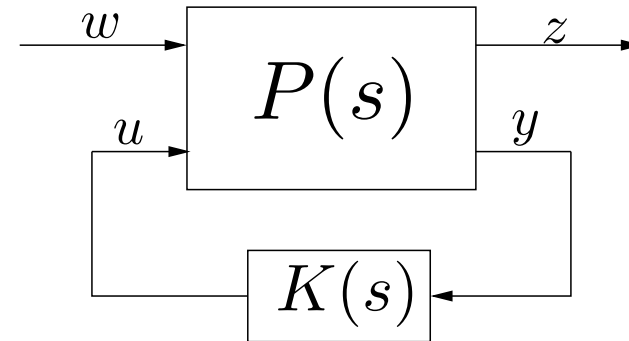
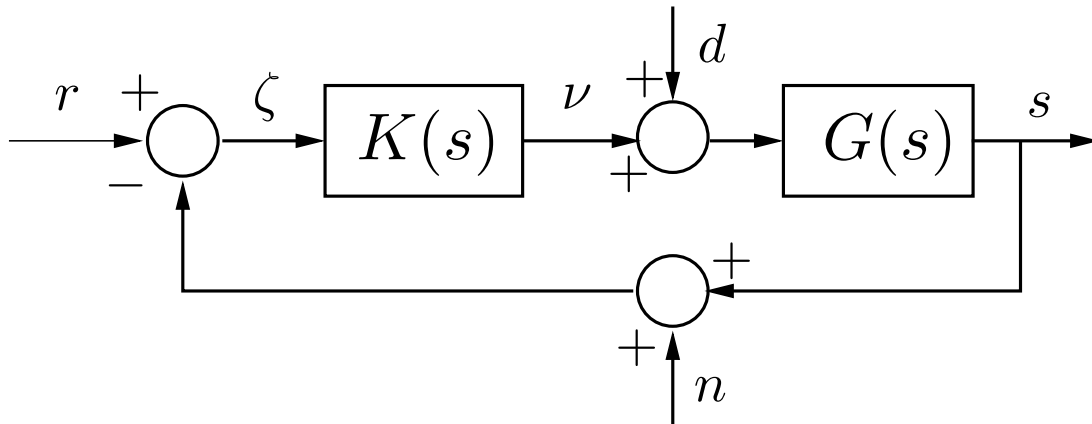
Pour une interconnexion stable de manière interne :

- 1- Si G a un zéro instable z_0 alors $L_y = G\bar{K}$, T_y , S_yG , L_u et T_u ont un zéro instable en z_0
- 2- Si G a un pôle instable en p_0 alors

- L_y , L_u ont un pôle instable en p_0
- S_y , $\bar{K}S_y$ et S_u ont un zéro instable en p_0

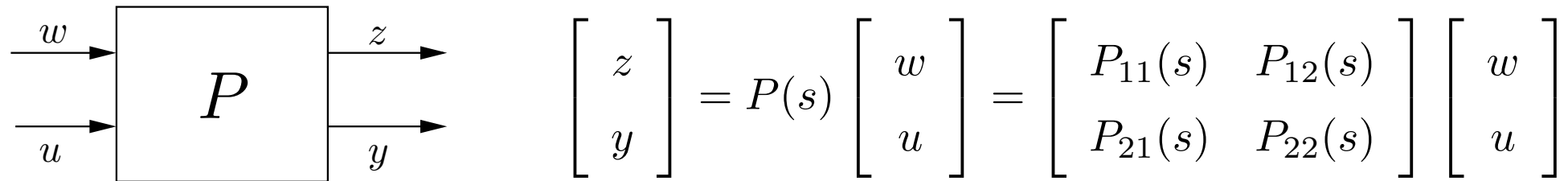


Exemple de l'asservissement à 1 degré de liberté

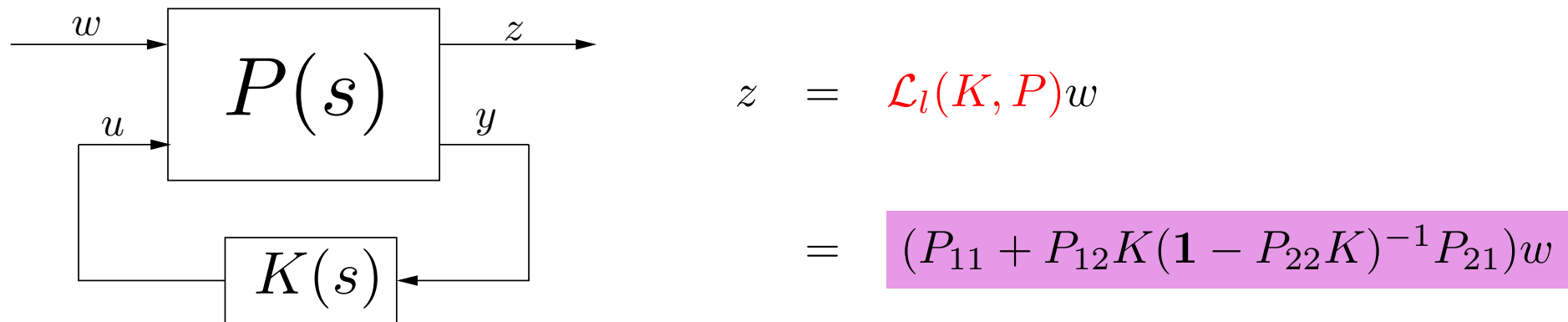


- w : entrées exogènes de perturbation
- z : sorties exogènes à contrôler
- u : signaux de commande
- y : signaux de mesures
- $P(s)$: modèle généralisé (augmenté)
- $K(s)$: correcteur généralisé (augmenté)

Boucle ouverte nominale :



Modèle d'analyse nominale : boucle fermée nominale : $\mathbf{1} - P_{22}K(s)$ inversible



Notation : $\mathcal{L}_l(K, P)$ est la transformation fractionnaire linéaire (\mathcal{LFT}) inférieure

① Modèle généralisé

- Etablir une représentation schéma-bloc du problème à traiter
- Identifier les signaux w, z, u, y
- Construire P en ouvrant les boucles en entrée et sortie du correcteur

② Calcul de P connaissant $N(K)$

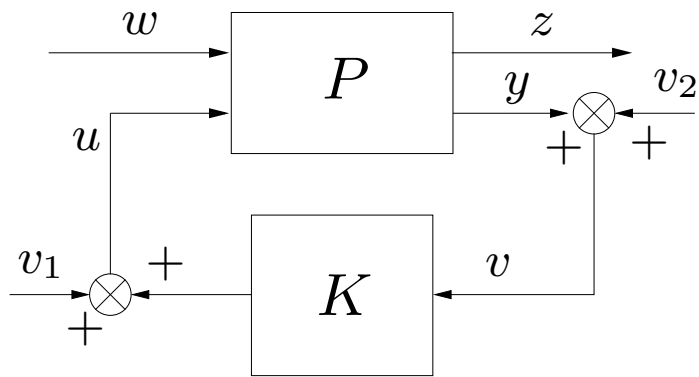
- Mettre $K = 0$ dans N afin d'obtenir P_{11}
- Définir

$$Q = N(K) - P_{11}$$

et réécrire Q afin de faire apparaître un facteur commun

$$R = K(\mathbf{1} - P_{22}K)^{-1}$$

- $Q = P_{12}RP_{21}$



$$\begin{bmatrix} z \\ v_1 \\ v_2 \end{bmatrix} = \left[\begin{array}{c|cc} P_{11} & P_{12} & \mathbf{0} \\ \hline \mathbf{0} & \mathbf{1} & -K \\ -P_{12} & -P_{22} & \mathbf{1} \end{array} \right] \begin{bmatrix} w \\ u \\ v \end{bmatrix}$$

L'interconnexion en B.F. est donnée par :

$$\begin{bmatrix} z & u & v \end{bmatrix}' = P_{bf}(s) \begin{bmatrix} w & v_1 & v_2 \end{bmatrix}'$$

$$P_{bf}(s) = \left[\begin{array}{cc|cc} P_{11} + P_{12}K(\mathbf{1} - P_{22}K)^{-1}P_{21} & P_{12}(\mathbf{1} - KP_{22})^{-1} & P_{12}K(\mathbf{1} - P_{22}K)^{-1} & \\ \hline K(\mathbf{1} - P_{22}K)^{-1}P_{21} & (\mathbf{1} - KP_{22})^{-1} & K(\mathbf{1} - P_{22}K)^{-1} & \\ (\mathbf{1} - P_{22}K)^{-1}P_{21} & (\mathbf{1} - P_{22}K)^{-1}P_{22} & (\mathbf{1} - P_{22}K)^{-1} & \end{array} \right]$$

□ **Lemme 6** :

L'interconnexion est stable de manière interne ssi elle est bien posée et la matrice de transfert $P_{bf}(s) \in \mathcal{RH}_\infty$

Soit le système $G(s) = \frac{10}{(5s+1)(0.5s+1)^2}$ de représentation d'état :

$$A_G = \begin{bmatrix} -0.115 & 0.294 & -0.109 \\ -0.294 & -1.081 & 1.004 \\ -0.10 & -1.004 & -3.004 \end{bmatrix} \quad B_G = \begin{bmatrix} -1.15 \\ -1.27 \\ -0.55 \end{bmatrix} \quad C_G = \begin{bmatrix} -1.145 & 1.27 & 0.55 \end{bmatrix}$$

et le correcteur :

$$K(s) = \frac{s+1}{(0.05s+1)(2s+1)}$$

de représentation d'état :

$$A_K = \begin{bmatrix} -9.442 & 9.717 \\ 9.717 & -11.058 \end{bmatrix} \quad B_K = \begin{bmatrix} 2.486 \\ -1.954 \end{bmatrix} \quad C_K = \begin{bmatrix} 2.487 & -1.954 \end{bmatrix}$$

```
>> G=tf([10],conv([5 1],conv([0.5 1],[0.5 1])));
>> K=tf([1 1],conv([0.05 1],[2 1]));
>> systemnames='G';
>> inputvar=' [r;d;n;u] ' ;
>> outputvar=' [G-r;u;r-n-G] ' ;
>> input_to_G=' [u+d] ' ;
>> sysoutname='P';cleanopsysic='yes';
>> sysic;
>>N=feedback(P,K,4,3,1);Npz=zpk(N);
ans =
-19.9878
-0.2326 + 1.1023i
-0.2326 - 1.1023i
-3.1434
-1.1035
```